

پیش‌بینی میزان رسوب لایه حاوی نانو پودر آلومینا تهیه شده به روش رسوب

نشانی الکتروفورتیک با استفاده از جریان الکتریکی عبوری از مدار

مصطفی میلانی، سید محمد زهراei

پژوهشکاره مواد پیشرفتیه و انرژیهای نو، سازمان پژوهشها علمی و صنعتی ایران، تهران، ایران

سید محمد میر کاظمی

دانشکاره مهندسی مواد و متالورژی، دانشگاه علم و صنعت ایران، تهران، ایران

(دریافت مقاله: ۹۵/۰۸/۲۹ - پذیرش مقاله: ۹۵/۱۰/۱۵)

چکیده

فرآیند رسوب نشانی الکتروفورتیک (EPD) به عنوان یک فرآیند سریع در شکل‌دهی سرامیک‌ها توجهات زیادی را در سال‌های اخیر به خود جلب کرده است و روابط سیستمیکی زیادی از سال ۱۹۴۰ تلاش کرده‌اند تا بازده این فرآیند را پیش‌بینی کنند. دو محور اصلی در توسعه این روابط مورد توجه قرار گرفته است: ۱- استفاده از جریان الکتریکی ثابت؛ ۲- استفاده از پتانسیل الکتریکی ثابت؛ که هر کدام از این دو محور منجر به مجموعه‌ای از فرضیات در توسعه هر رابطه شده است. در تمام این تلاش‌ها صحنه‌گذاری روابط بسته آمده بر اساس یک سری آزمون‌های رسوب نشانی با فوائل زمانی معین انجام شده است (به صورت غیر بر خط یا Off line). با توسعه سیستم‌های جدید می‌توان این آزمون‌ها را به صورت بر خط (On line) انجام داد که این روش منجر به حذف برخی خطاهای در سیستم خواهد شد. با حذف این خطاهای مشخص شد که برخی فرضیات در نظر گرفته شده در توسعه روابط سبب می‌شود تغییرات در زمان‌های طولانی نادیده گرفته شود. در این بین روابطی که بر اساس دخالت دادن جریان الکتریکی مدار توسعه پیدا کرده‌اند از خطای کمتری برخوردار خواهند بود. دلیل این موضوع نیز حساسیت فرآیند رسوب نشانی الکتروفورتیک به تغییرات میدان الکتریکی در داخل سوسپانسیون است که محرك اصلی فرآیند رسوب نشانی است در نهایت مشخص شد با در نظر گرفتن جریان الکتریکی لحظه‌ی مدار و وارد کردن آن در رابطه پیش‌بینی کرد که در هر دو شرایط پتانسیل الکتریکی ثابت و جریان الکتریکی ثابت صادق باشد.

واژه‌های کلیدی: رسوب نشانی الکتروفورتیک، سیستمیک، نانو آلومینا، میدان الکتریکی ثابت، جریان الکتریکی ثابت.

Nano Alumina Deposition and Prediction of EPD Yield by Using of Cell Current

Mostafa Milani, Seyed Mohammad Zahraee

Advanced Materials & Renewable Energies Department, Iranian Research organization for science and technology, Tehran, Iran

Seyed Mohammad Mirkazemi

School of Metallurgy and Materials Engineering, Iran University of Science and Technology, Tehran, Iran

(Received 9 Nov 2016, accepted 4 Jan 2017)

Abstract

An electrophoretic deposition process as a high-speed process of ceramic body shaping has received great attention in recent years and many kinetic equations from 1940 attempt to predict the yield of the process. In the development of these relations two major issues are taken into consideration: 1- Using constant current and 2- constant potential, each of these, led to a set of assumptions in the development of relationships. In all these efforts validation was based on a series of deposition tests is done at regular intervals (non-online or off-line). With the development of new systems, these tests can be done in the on-line process, which this method will result in the deletion of some errors in the system. By eliminating these errors there became clear that some considered assumptions in the development of relations were be ignored for long times and causes some errors. The relationships that have been developed based on the electric current of the cell will have less of errors. Because the sensitivity of the electrophoretic deposition process to the electric field changes inside the suspension that is the main driver of the process. finally, It was found that by taking account the electrical current of cell in the equation of Ferrari et al. there was be a new kinetic relationship that were honest in the constant electric potential and constant electrical current .

Keywords: Electrophoretic deposition, Kinetic equations, Nano alumina, Constant potential, constant current.

E-mail of corresponding author: smzahraee@irost.org.

مقدمه

بین دو الکتروود و t زمان اعمال میدان است. در رابطه پیشنهاد شده توسط هاماکر غلظت سوسپانسیون در طول فرآیند ثابت فرض شده است. ژانگ و همکاران [۶] با بازنگری در رابطه هاماکر، تاثیر تغییر غلظت ذرات در طول زمان را نیز مد نظر قرار دادند. رابطه ژانگ و همکاران (که توسط سارکار و نیکلسون [۷] نیز اصلاح شده است) به شکل زیر بیان می‌شود (E2):

$$w = w_0 (1 - e^{-kt}), \quad (E2)$$

$$k = \frac{A \varepsilon \zeta}{V 4\pi \eta} (E - \Delta E) \quad \text{رابطه ۲.}$$

در بازه‌های زمانی کوچک که مقدار کمی از پودر شروع به رسوب می‌نماید تغییرات غلظت ذرات در بالک ناچیز است، لذا رابطه هاماکر صادق است. از آنجایی که این اصلاحات در سوسپانسیون‌های بسیار غلیظ کارایی نداشت، در سال ۲۰۰۵ آنی و همکارانش [۸] بر اساس معادله هاماکر مدل سینتیکی برای سوسپانسیون‌های با بار جامد بالا و در نظر گرفتن کاهش جریان الکتریکی عبوری از سوسپانسیون با اختلاف پتانسیل الکتریکی ثابت ارایه دادند. در این مدل رابطه میدان الکتریکی به صورت زیر در نظر گرفته می‌شود:

$$E = \frac{i}{S A_s} \quad (E3) \quad \text{رابطه ۳.}$$

در رابطه فوق، i هدایت الکتریکی سوسپانسیون و A جریان الکتریکی عبوری از سل است، از آن جا که در رابطه فوق جریان و مقاومت الکتریکی به صورت توابع متغیر با زمان بیان شده‌اند، لذا میدان الکتریکی نیز تابع زمان است. با جایگزینی رابطه بالا در رابطه ژانگ و همکاران روابط زیر حاصل می‌شود (E3):

$$w = w_0 \left(1 - e^{-\frac{t}{\tau}} \right), \quad (E3)$$

$$\frac{1}{\tau} = \frac{f \mu i}{V A_s} \quad (E4) \quad \text{رابطه ۴.}$$

یک پارامتر مهم که در رابطه بالا وجود دارد μ یا همان تحرک الکتروفورتیک است که تعیین کننده سرعت ذرات

به نظر می‌رسد تحقیقات منتشر شده توسط راس اولین مشاهده‌ای است که در آن پدیده الکتروفورتیک یا حرکت ذرات باردار توسط میدان الکتریکی گزارش شده است [۱]. بعدها در سال ۱۹۳۳ هارسانی توریا را بر روی یک کاتد پلاتینی به این روش پوشش داد [۲]. در سال ۱۹۴۰ همیکر توانست با این روش به پوشش دهی جنس‌های مختلفی از لایه‌های نازک بپردازد و این فرآیند را توسعه دهد [۳]. اساس این فرآیند بر تشکیل یک سوسپانسیون پایدار از ذرات سرامیکی باردار شده است که در یک میدان الکتریکی بتواند بر روی یک الکتروود رسوب کند [۴]. این روش به دلیل عدم استفاده از چسب، زمان تولید کم و تجهیزات ساده مورد توجه قرار می‌گیرد. همچنین این فرآیند محلودیتی در شکل زیر لایه نداشته و در اجرا نیز بسیار انعطاف‌پذیر است [۵].

با توجه به سرعت واکنش و بازدهی متوسط این فرآیند همواره تلاش شده است تا رابطه بین وزن رسوب و پارامترهای اعمالی در فرآیند بدست آید تا بتوان پیش‌بینی مناسبی از نتایج نهایی مورد انتظار داشت. برای اولین بار هاماکر با تهیه سوسپانسیون‌های $SrCO_3$ ، $BaCO_3$ ، Al_2O_3 و CaF_2 ، $MgCO_2$ ، MgO فرآیند الکتروفورتیک، تاثیر شدت جریان الکتریکی و پتانسیل الکتریکی اعمال شده، غلظت‌های اولیه متفاوت و سطح الکترودهای متفاوت بر مقدار رسوب ایجاد شده بر روی الکتروود را مورد بررسی قرار داد. با استفاده از نتایج به دست آمده و تفسیر آنها رابطه زیر برای مقدار رسوب ایجاد شده به دست آمد [۳] (E1):

$$w = \frac{C \mu A E}{d} t \quad (E1) \quad \text{رابطه ۱.}$$

در رابطه فوق (و به همین ترتیب در روابطی که در ادامه می‌آید) C غلظت اولیه، μ تحرک الکتروفورتیک ذرات، E میدان الکتریکی اعمالی، A مساحت سطح الکتروود، d فاصله

هرچند در این رابطه اصلاحاتی نسبت به روابط قبلی انجام شده است اما همچنان تحرک به ثابتی مربوط شده است که در حین تغییر غلظت سوسپانسیون تغییر می‌کنند. مواردی مانند ویسکوزیته و طول دبای از این جمله هستند. اصلاح دیگری که بر روی رابطه ژانگ و همکاران انجام شده است در سال ۲۰۰۴ توسط ما و چنگ بیان شده است [۱۱]. این محققین با توجه به اطلاعات تجربی بدست آمده ثابت k در رابطه ژانگ و همکاران را به صورت تابعی از جریان الکتریکی بازنویسی کردند. در این حالت با بدست آوردن این ثابت (k_0) به صورت حل عددی در یک جریان الکتریکی اعمالی (i_0) می‌توان ثابت k در جریان‌های الکتریکی دیگر (i) را نیز بدست آورد. در این حالت رابطه بین k_0 و k به صورت زیر بیان شد:

$$k = k_0 \left(e^{\frac{i}{i_0}} - 1 \right) \quad \text{رابطه ۱۰}$$

با توجه به این حالت می‌توان رابطه ژانگ و همکاران را به صورت زیر بازنویسی کرد (E4):

$$w = w_0 \left(1 - \exp \left(-t \cdot k_0 \left(\exp \frac{i}{i_0} - 1 \right) \right) \right) \quad \text{رابطه ۱۱}$$

مبانی تمام روابط ارایه شده در بالا در مرحله اول رابطه هاماکر بوده و در مرحله بعدی بیان ژانگ و همکاران از این رابطه مورد توجه قرار گرفته است. البته در رابطه ارایه شده توسط ژانگ و همکاران و اصلاحات سارکار و نیکلسون و یا آنی و همکاران مقدار «میدان الکتریکی» در طول فرآیند «ثابت» فرض شده است، اما در رابطه ارایه شده توسط ما و چنگ این رابطه در حالت «جریان الکتریکی ثابت» نیز، بسط داده شده است.

در بررسی‌های بیشتر مشخص شد که در طول فرآیند با ایجاد رسوب، مقدار میدان الکتریکی دو سر سوسپانسیون کاهش می‌یابد، لذا سارکار و نیکلسون به دنبال نشان دادن وابستگی میدان الکتریکی به رسوب ایجاد شده، رابطه زیر را ارایه دادند [۷] (E5):

در سوسپانسیون است. ساده‌ترین روش موجود جهت محاسبه این پارامتر از طریق موازن نیروی الکترواستاتیکی و نیروی درگ است [۹]. نیروی الکتریکی وارد بر ذره باردار Q و تحت میدان الکتریکی E به صورت زیر است:

$$F_E = Q_s E \quad \text{رابطه ۵}$$

و نیروی درگ وارد به ذره‌ای به شعاع a و سرعت U در محلولی به ویسکوزیته μ به شرح زیر است:

$$F_H = 6\pi\mu a U \quad \text{رابطه ۶}$$

از طریق مساوی قرار دادن دو نیروی فوق سرعت ذره به شرح زیر به دست می‌آید:

$$U = \frac{Q_s E}{6\pi\mu a} \quad \text{رابطه ۷}$$

که طبق تعریف تحرک مقدار آن از رابطه زیر به دست می‌آید:

$$\eta = \frac{U}{E} = \frac{Q_s}{6\pi\mu a} \quad \text{رابطه ۸}$$

رابطه فوق به دلایلی از دقت بالایی برخوردار نیست، زیرا در این رابطه تنها یک ذره مدنظر است و تاثیر الکتریکی ذرات دیگر نادیده گرفته شده است. همچنین تاثیر لایه مضاعف الکتریکی در این رابطه بیان نشده است. از نقطه نظر مکانیکی نیز، پارامتر کنوانسیون باید در نظر گرفته می‌شد که این کار نیز صورت نگرفته است. با برطرف کردن نواقص فوق رابطه زیر برای موبیلیته ارایه شد [۱۰]:

$$\eta = \frac{2\varepsilon\zeta f(ka)}{3\mu} \quad \text{رابطه ۹}$$

در رابطه فوق ka معکوس طول دبای است. در حالتی که $ka << 1$ مقدار $f(ka)$ برابر ۱ و در حالتی که $ka >> 1$ مقدار $f(ka)$ برابر $1/5$ است.

$$w = A \frac{EC_D}{j_0 \rho_D} (\sqrt{1 + \alpha t} - 1), \quad \text{رابطه ۱۵}$$

$$\alpha = \frac{2j_0^2 k}{E} \left(\frac{\rho_D}{d_D} \right)$$

در این رابطه j_0 دانسیته جریان الکتریکی اولیه بوده و k نسبت بین وزن رسوب و بار الکتریکی انتقالی است. در این رابطه «میدان الکتریکی» اعمالی «ثابت» در نظر گرفته شده است.

بر این اساس اول با توجه به دو فرض اعمال پتانسیل الکتریکی ثابت یا جریان الکتریکی ثابت در حین فرآیند می‌توان به روابط مختلفی رسید که ممکن است این روابط در شرایط معکوس پاسخ‌های صحیحی در بر نداشته باشند. دوم همچنان ابعادی مانند مقدار وزن رسوب تشکیل شده در مورد برخی از پارامترهای موجود مانند میدان الکتریکی در نظر گرفته شده یا مقدار جریان عبوری در روابط وجود دارد. سوم مینا قرار دادن رابطه هاماکر و یا روابط حاصل از آن در توسعه روابط سیستمیکی جدید یک فرآیند معمول است اما تلاش‌هایی شده است تا با استفاده از مبانی دیگری نیز روابط جدید استخراج شود، لذا در این تحقیق تلاش شده است روابط ارایه شده قبلی بررسی شده و مشخص شود کدام رابطه می‌تواند مبنای مناسب‌تری برای ایجاد یک رابطه جدید باشد و در ادامه یک رابطه سیستمیکی جدید بر اساس شرایط پتانسیل الکتریکی ثابت استخراج شود. این مینا میزان انطباق رابطه با نتایج تجربی بدست آمده در مورد وزن رسوب خواهد بود.

شرح آزمایش

نانو پودر آلومینا با میانگین اندازه ذرات $d_{50} = 80\text{nm}$ با ساختار کوراندوم و خلوص ۹۹/۹٪ مورد استفاده قرار گرفت (US Nano Research, US3008, USA). برای ساخت سوسپانسیون و انجام فرآیند رسوب، نانو پودر آلومینا در محلول اتانول با یド (ppm) ۴۰۰ نسبت به پودر آلومینا و نمک‌های کلریدی منیزیم، ایتریم و لانتانیوم (به

$$R'w + (R'w_0 + d) \cdot \ln \left(1 - \frac{w}{w_0} \right) + k'E t = 0 \quad \text{رابطه ۱۶}$$

که R' به شکل زیر تعریف می‌شود:

$$R' = \frac{\left(\frac{\rho_s}{\rho_d} \right) - 1}{C_d \cdot A} \quad \text{رابطه ۱۷}$$

در این رابطه ρ_s و ρ_d به ترتیب مقاومت الکتریکی ویژه سوسپانسیون و رسوب هستند و C_d چگالی رسوب است. این رابطه و روابط بعدی نیز بر پایه رابطه هاماکر بنا نهاده شدند اما بیان ژانگ و همکاران در آنها مورد توجه قرار نگرفته است.

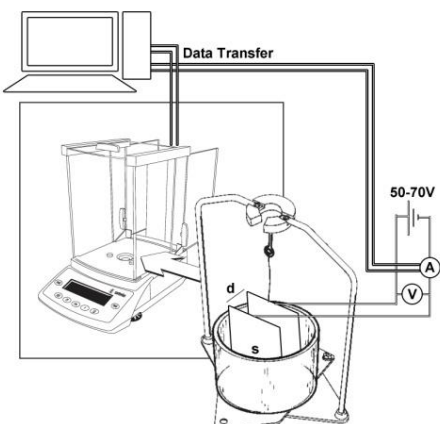
به همین ترتیب در سال ۲۰۰۶ فراری و همکاران تغییرات هدایت الکتریکی سوسپانسیون در حین فرآیند را مورد توجه قرار دادند و تغییرات الکتریکی ایجاد شده در فرآیند را در تغییر هدایت الکتریکی خلاصه کردند. بر این اساس رابطه زیر از بازنویسی رابطه هاماکر بدست آمد [۱۲]:

$$\frac{\Lambda_{s,0}}{\Lambda_{s,\infty}} \left(\frac{w}{w_0 - w} \right) + 1 = \exp \left(\frac{t}{\tau_\infty} \right), \quad \text{رابطه ۱۸}$$

$$\tau_\infty = \frac{V \Lambda_{s,\infty}}{f \mu I}$$

که $\Lambda_{s,0}$ و $\Lambda_{s,\infty}$ به ترتیب هدایت الکتریکی سوسپانسیون در ابتدای فرآیند و هدایت الکتریکی محیط مایع است. در سال ۲۰۱۰ بالدیسری و همکاران [۱۳] در رویکری جدید به فرآیند رسوب الکتروفورتیک مبنای ایجاد یک رابطه سیستمیکی برای این فرآیند را از مبنای «نفوذ-رسوب» به مبنای «انتقال جریان الکتریکی - رسوب» تغییر دادند، لذا بدون توجه به رابطه هاماکر با در نظر گرفتن یک مدار الکتریکی در حین فرآیند نحوه عبور جریان الکتریکی در این مدار را بررسی کرده و ذرات را مسئول انتقال جریان الکتریکی فرض کردند. بر این اساس جرم رسوب کرده نسبتی از جرمی است که به دلیل انتقال بار الکتریکی به سمت الکترود حرکت کرده است، لذا رابطه زیر را برای میزان جرم رسوب کرده پیشنهاد کردند (E7):

مدل *ED224S* و کیت دانسیته *YDK01LP* استفاده شد. الکترود رسوب به کیت دانسیته متصل گردید و تغییرات وزن آن (نسبت به وزن اولیه) ثبت شد. جریان الکتریکی نیز با استفاده از یک آمپرmetr ثبت گردید. تعداد نقاط ثبت شده در هر ثانیه در مورد وزن، ۵ نقطه و در مورد جریان، ۲ نقطه بود. شماتیک تجهیزات انجام آزمایش در شکل ۱ نشان داده شده است.



شکل ۱. شماتیک تجهیزات رسوب الکتروفورتیک و ثبت آن. در نهایت از یک روش عددی برای بررسی نتایج بدست آمده استفاده شد. برای این کار ابتدا اطلاعات وزن ثبت شده رسوب در مدت زمان ۵۰ ثانیه (به همین ترتیب ۲۵۰، ۳۵۰ و ۱۸۰۰ ثانیه) اول فرآیند در رابطه‌ها قرار داده شده و ثوابت هر رابطه با استفاده از حل عددی آن تخمین زده شده است. سپس این ثوابت در رابطه قرار داده شده است و نمودار زمان - تغییرات وزن رسوب رسم گردیده است. در روابطی که امکان رسم این نمودارها وجود نداشت اختلاف وزن رسوب در آزمایش نسبت به وزن رسوب در رابطه رسم گردید. برای مشخص کردن رابطه بکار رفته در هر نمودار از کد ذکر شده در مقدمه استفاده شد.

نتایج و بحث

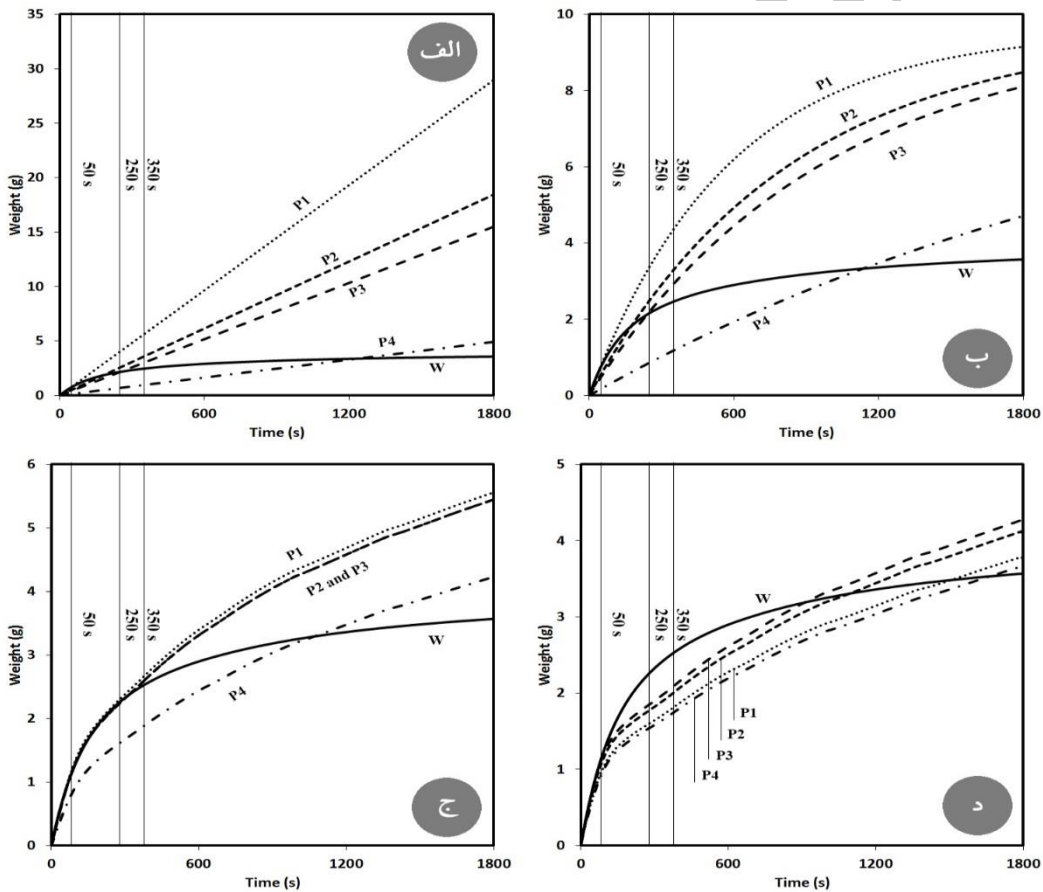
شکل ۲ رابطه بین وزن رسوب و زمان و آنچه که با استفاده از روابط پیش‌بینی می‌شود را نشان می‌دهد. خط پر وزن ثبت شده در آزمایش است و خطوط *P1* تا *P4* بر اساس

ترتیب ۳۰۰، ۴۵۰ و ۲۰۰ (*ppm*) نسبت به پودر آلمینا با فرمول کلی $MCl_y.nH_2O$ که M و y به ترتیب منیزیم، ۲، ۶؛ ایتریم، ۳، ۶ و لانتانیوم، ۳، ۶ است) پراکنده شد. برای این کار ابتدا ۸۰ میلی‌لیتر اتانول (*Merck Millipore*) خالص، ۹۹٪ در یک بشر قرار داده شد. سپس در حین هم زدن پراکنده‌سازها در مدت ده دقیقه اضافه شدند و محلول به مدت ده دقیقه دیگر هم زده شد. سپس میزان مورد نظر از نانو پودر آلمینا به تدریج در مدت زمان ۱۰ دقیقه به محلول اضافه شد و سوسپانسیون ۱۰ دقیقه دیگر هم زده شد. اتانول، ید و نمک‌ها ساخت شرکت *Merck Millipore* و با خلوص ۹۹٪ درصد انتخاب شدند. فرآیند رسوب در پتانسیل الکتریکی ثابت ۷۰ ولت و در فاصله الکترود ۱ سانتی‌متر و زمان ۱۸۰۰ ثانیه انجام شد.

در هر آزمون سوسپانسیون‌ها درست قبل از آزمایش‌ها تهیه شدند تا تمام شرایط یکسان باشد. قبل از قرار دادن الکترودها در سل الکتروفورتیک وزن هر الکترود به صورت دقیق اندازه‌گیری شد. در نهایت سوسپانسیون در داخل سل الکتروفورتیک ریخته شد و الکترودها به صورت کاملاً موازی و در فاصله مورد نظر قرار داده شدند. با شروع فرآیند ولتاژ مورد نظر به دو الکترود وارد شد و با اتمام زمان مورد نظر (۳۰ دقیقه) این ولتاژ قطع گردید و بلافاصله الکترودها از سل الکتروفورتیک خارج شدند و در یک محیط در بسته به مدت ۲۴ ساعت و در دمای محیط خشک شدند. جنس کاتد از تیتانیوم و جنس آند از فولاد زنگ نزن انتخاب شد. هر دو الکترود در اسید نیتریک ۱ مولار چربی زدایی شده و با آب یون زدایی شده و استون شسته شدند. مساحت سطح در معرض الکترودها ۸۷۵ میلی‌متر مربع بود.

در فرآیند آزمایش تمهداتی در نظر گرفته شد تا وزن رسوب و جریان الکتریکی اعمالی به صورت آن لاین در تمام مدت آزمایش (۰ تا ۱۸۰۰ ثانیه) ثبت گردد. برای این کار از یک ترازوی ۴ رقم اعشار ساخت شرکت *Sartorius*

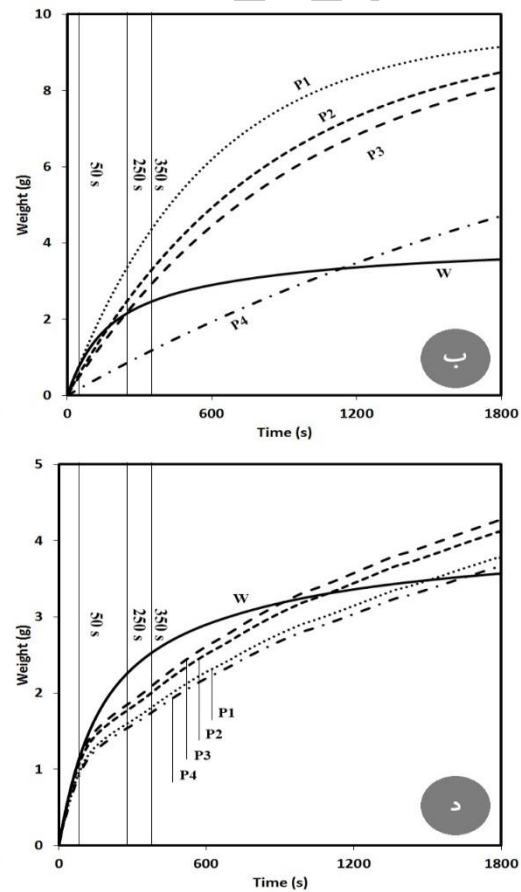
نهایی بعد از ۱۸۰۰ ثانیه به $3/57$ گرم رسیده است. در دو رابطه اول پیش‌بینی‌ها در ابتدا کمتر و در نهایت بیشتر از مقادیر واقعی رسوب هستند. برای اینکه مشخص شود هر کدام از پیش‌بینی‌ها چه مقدار با مقادیر واقعی اختلاف دارند رابطه $W_{Measured} - W_{Predicted}$ رسم گردید. این دارند رابطه $E1$ وجود دارد. شکل ۲ الف اختلاف وزن زیادی را نشان می‌دهد که در مقالات متعددی نیز به این موضوع اشاره شده است [۱۴].



شکل ۲. تغییرات وزن رسوب با گذشت زمان در مدت زمان ۱۸۰۰ ثانیه (خط پر) در مقایسه با مقادیر پیش‌بینی بر اساس روابط سینتیکی موجود،
الف) رابطه هاماکر ($w=kt$)، ب) رابطه سارکار و نیکلسون ($\exp(-kt)$)، ج) رابطه ژانگ و همکاران ($\exp(i/i_0)-1$) و د) رابطه ما و چنگ ($\exp(-kt)$). برای بدست آوردن مقادیر پیش‌بینی با استفاده از حل عددی روابط موجود با توجه به اطلاعات ۳۵۰، ۲۵۰، ۵۰ و ۱۸۰۰ ثانیه اول به ترتیب خط $P1$, $P2$, $P3$ و $P4$ فرایند ثوابت رابطه بدست آمده و سپس با استفاده از این مقادیر رابطه برونویابی شده است.

- ج) دو نکته مهم وجود دارد اول اینکه برخلاف سه شکل دیگر دو نقطه ماقزیزم در ابتدای نمودارها دیده می‌شود

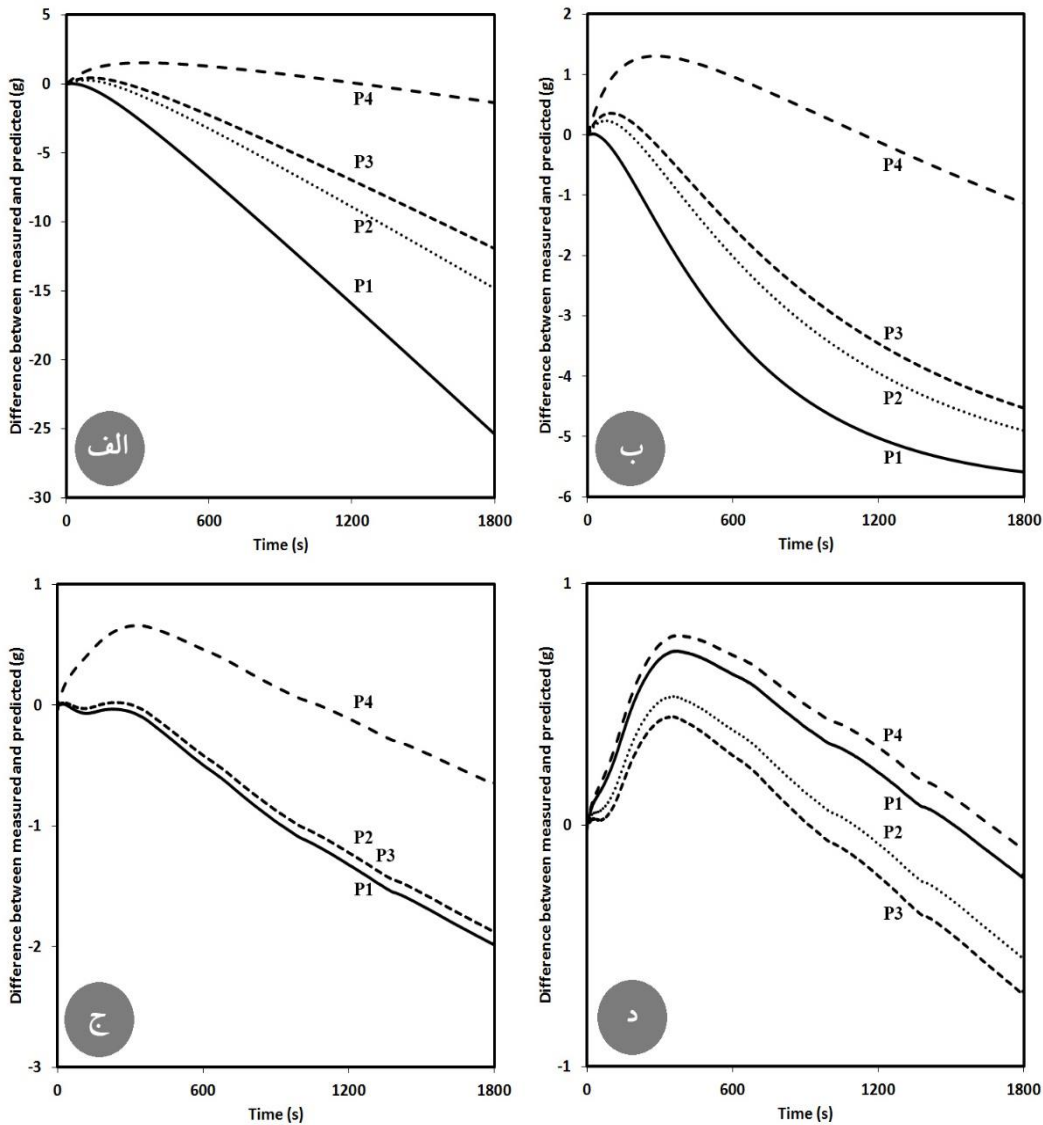
محاسبات بدست آمده‌اند. در شکل ۲ الف از رابطه هاماکر ($E1$) استفاده شده است. این رابطه را می‌توان به شکل $w = kt$ ساده کرد که بر اساس آنچه ذکر شد $E2$ است که در شکل ۲ ب نیز رابطه سارکار و نیکلسون ($E3$) است که در آن $\ln(1-w/w_0) = -kt$ و در شرایط میدان ثابت بدست آمده است. شکل ۲ ج نیز رابطه ما و چنگ ($E4$) است که در $k' = k \cdot \exp(-kt)$ بر اساس فرض میدان ثابت بدست آمده است. در $k' = k \cdot \exp(-kt)$ که در آن $\ln(1-w/w_0) = -k't$ برای رسما نمودار وزن بر حسب زمان استفاده شد که نتایج در شکل ۲ د آمده است. وزن رسوب



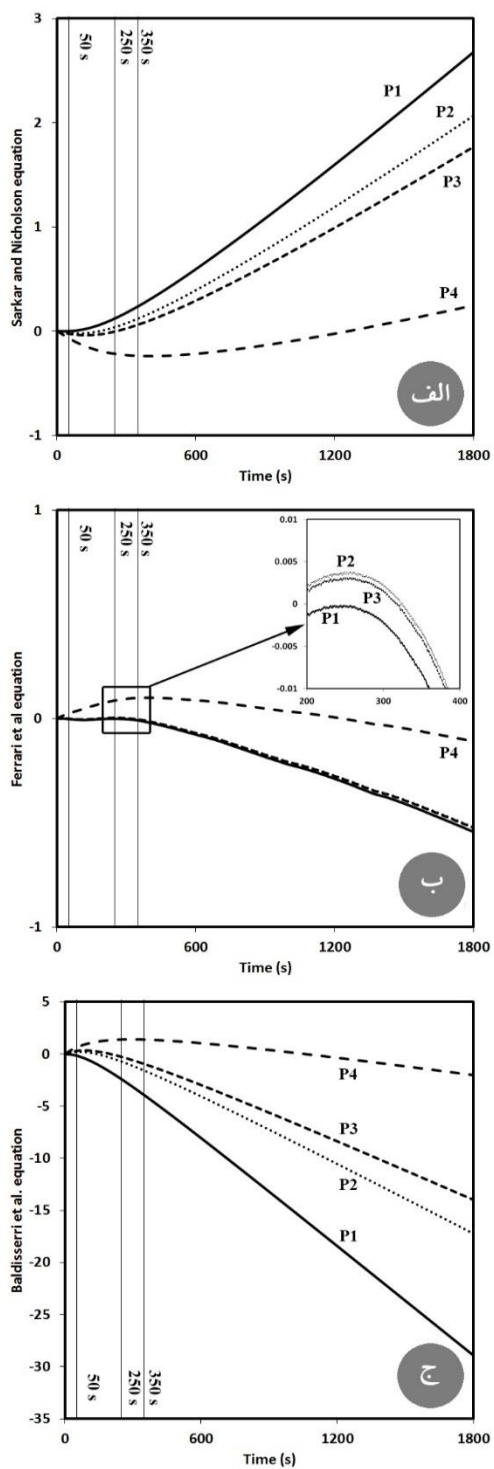
در رابطه سارکار و نیکلسون (شکل ۳ ب) این اختلاف‌ها خیلی کمتر شده اما همچنان بسیار زیاد است. در شکل ۳

بيشتری نسبت به بقیه پيش‌بييني‌ها دارد در صورتی که در سه شکل ديگر اين پيش‌بييني در زمان ۱۸۰۰ ثانية اختلاف كمتری را با مقادير واقعی دارد. در سه پيش‌بييني P_1 , P_2 و P_3 مقادير تا ۳۵۰ ثانية انطباق بسیار خوبی بر يكديگر دارد.

يعني بر اساس پيش‌بييني‌های اين رابطه، تغييرات وزن در ابتداي فرآيند حالت افزایش و کاهش خواهد داشت. همانطور که در شکل ۲ - ج هم دیده می‌شود P_1 , P_2 و P_3 تقریباً بر هم منطبق هستند. دوم اینکه در زمان‌های ابتدایی، پيش‌بييني بر اساس زمان ۱۸۰۰ ثانية اختلاف‌های



شكل ۳. اختلاف بین تغییرات وزن رسوب با گذشت زمان در مدت زمان ۱۸۰۰ ثانية (خط پر) در مقایسه با مقادیر پیش‌بینی بر اساس روابط سیستیکی موجود، (الف) رابطه هاماکر ($w=kt$)، (ب) رابطه ژانگ و همکاران ($\exp(-kt)$)، (ج) رابطه سارکار و نیکلسون ($\exp(-kt)$) و (د) رابطه ما و چنگ ($\exp(-k)\cdot\exp(i/i_0-1)t$) برای بدست آوردن مقادیر پیش‌بینی با استفاده از حل عددی روابط موجود با توجه به اطلاعات ۳۵۰، ۲۵۰، ۵۰ و ۱۸۰۰ ثانية اول (به ترتیب خط P_1 , P_2 , P_3 و P_4) فرایند ثوابت رابطه بدست آمده و سپس با استفاده از این مقادیر رابطه برونویابی شده است و در نهایت مقدار وزن بدست آمده در آزمایش از مقدار پیش‌بینی شده کسر گردید.



شکل ۴. اختلاف بین مقادیر پیش‌بینی شده در روابط E5 (الف)، E6 (ب) و E7 (ج) با مقادیر بدست آمده از آزمایش در ۵۰، ۲۵۰، ۳۵۰، ۱۸۰۰ (P1، P2، P3، P4) ثانیه اول.

يعنى با پیش‌بینی بر اساس مقادیر ۵۰ ثانیه اول می‌توان تا ۳۵۰ ثانیه را به خوبی پیش‌بینی کرد، لذا با فرض $k = kit$ در این رابطه نتایج ثابتی در زمان‌های ابتدایی بدست می‌آید که نشان می‌دهد نوع تغییرات رسوب در این زمان در فرضیات اثبات رابطه دخیل شده است.

در واقع می‌توان گفت در این رابطه با ورود جریان الکتریکی به رابطه E2 انطباق بهتری بین نتایج آزمایش و نتایج پیش‌بینی‌ها دیده می‌شود. پس می‌توان نتیجه گرفت روابطی که جریان الکتریکی لحظه‌ای در آنها وجود دارد می‌توانند نتایج را بهتر پیش‌بینی کنند. قابل ذکر است که با افزایش زمان رسوب، اختلاف به شدت زیاد شده است و تا حدود ۱ گرم نیز می‌رسد.

در شکل ۳ - د کمترین اختلاف‌ها بین مقادیر واقعی و مقادیر پیش‌بینی‌ها مشاهده می‌شود و P1 و P2 بین دو مقدار P3 و P4 قرار دارند. یعنی پیش‌بینی بر اساس زمان‌های کم و یا زمان‌های طولانی با استفاده از این رابطه دچار خطای زیادی است. در این رابطه نیز جریان الکتریکی وارد رابطه شده است اما اختلاف بعد از ۵۰ ثانیه اول زیاد می‌شود. اختلاف این رابطه با رابطه E3 در وجود i_0 در این رابطه است. یعنی شرایط اولیه رسوب به نوعی در رابطه دخیل شده است. همین موضوع سبب اختلاف با شرایط واقعی در این رابطه شده است. اما توانسته است مقادیر نهایی رسوب (بعد از ۱۸۰۰ ثانیه) را بهتر پیش‌بینی کند.

با توجه به این توضیحات اول بین این چهار رابطه روابط E3 و E4 انطباق بهتری بر نتایج آزمایش‌ها دارند و رابطه E3 برای پیش‌بینی نتایج در زمان‌های متوسط (مشخصاً در این آزمایش ۳۵۰ ثانیه) بهتر از سه رابطه دیگر عمل می‌کند. این رابطه در زمان‌های طولانی عملکرد خوبی ندارد. اما رابطه E4 هرچند در زمان‌های متوسط نتایج بسیار خوبی ندارد اما نتایج زمان‌های طولانی را بهتر پیش‌بینی می‌کند.

هرچه سوسپانسیون غلیظتر باشد شعاع معادل ذره (c) کمتر خواهد شد. پس مقاومت الکتریکی سوسپانسیون به غلظت وابسته بوده و در طول فرآیند ثابت نیست. بنابراین R_r در رابطه سارکار و نیکلسون به صورت (t) تعريف می‌شود.

نکته دوم تغییرات چگالی رسوب در حین رسوب است. با توجه به نتایج بدست آمده چگالی رسوب در زمان‌های اولیه فرآیند (به دلیل پتانسیل الکتریکی بالاتر در حین رسوب) بالاتر از زمان‌های انتهایی فرآیند است. نمونه‌های رسوب بدست آمده در زمان ۲۵۰ ثانیه گاهی تا ۱۰ درصد دانسیته نسبی بالاتری از رسوب بدست آمده در زمان ۴۵۰ ثانیه دارند [۱۶]، لذا در فرض مساله توسط سارکار و نیکلسون که $\rho / \rho_s = w(t) / L_{dep}$ باید ρ به صورت (t) تعريف شود که در نهایت انتگرال استفاده شده در فرآیند استخراج رابطه بسیار پیچیده خواهد شد.

برای رسم نمودارهای شکل ۴ ب، رابطه فراری و همکاران به شیوه‌ای متفاوت بازنویسی شده است؛ همانطور که بیان شد، رابطه فراری و همکاران با دو فرض اساسی توسعه پیدا کرده است اول اینکه فرآیند در شرایط جریان الکتریکی ثابت اتفاق بیفتند دوم اینکه پتانسیل الکتریکی با جریان الکتریکی رابطه خطی دارد (سوسپانسیون اهمیک است) [۱۲]. همانطور که اشاره شد مورد دوم تقریباً در تمامی سوسپانسیون‌ها نامعتبر است. در مورد نکته اول، آزمایش‌های این تحقیق در پتانسیل الکتریکی ثابت انجام گرفته است اما با جایگزین کردن I (جریان الکتریکی ثابت مدار در پیش فرض فراری و همکاران) با i (جریان الکتریکی لحظه‌ای مدار) پاسخ‌ها به مقادیر حاصل از آزمایش نزدیک شده است. یعنی می‌توان رابطه جریان ثابت فراری و همکاران را به صورت زیر بازنویسی کرد:

$$\frac{d}{dt} \left(\frac{w}{w_0} \right) = \frac{j}{\tau'_0} \left(1 - \frac{w}{w_0} \right) \left(1 + \left(\frac{\rho_{\infty}}{\rho_0} - 1 \right) \frac{w}{w_0} \right) \quad .18$$

که:

در شکل ۴ - الف رابطه مقاومتی سارکار و نیکلسون مبنای محاسبه قرار گرفته است. در این شکل‌ها مقادیر مثبت اختلاف نشان دهنده پیش‌بینی کمتر رابطه نسبت به مقادیر آزمایش است و مقادیر منفی نشان دهنده مقادیر کمتر در آزمایش نسبت به مقادیر پیش‌بینی است، لذا رابطه سارکار و نیکلسون در نهایت مقادیری بیشتر از مقادیر واقعی پیش‌بینی می‌کند.

این رابطه یک رابطه بر اساس مقاومت الکتریکی رسوب پیشنهاد می‌دهد و برای شرایط پتانسیل الکتریکی ثابت توسعه یافته است. در این رابطه پتانسیل الکتریکی دو سر سوسپانسیون به وسیله معادل قرار دادن مقاومت الکتریکی رسوب بعلاوه مقاومت الکتریکی سوسپانسیون با یک مقاومت الکتریکی معادل (طول بیشتری از سوسپانسیون (L_{equi}) با مقاومت الکتریکی معادل) جایگزین شده است.

$$L_{equi} = L + L_{dep} (R_r - 1) \quad .16$$

که L فاصله بین دو الکترود و L_{dep} ضخامت رسوب، R_r نسبت مقاومت رسوب به مقاومت الکتریکی سوسپانسیون است.

از آنجایی که رسوب (سوسپانسیون بسیار غلیظ) و سوسپانسیون هردو جزو رساناهای غیر اهمی هستند اساس وجود یک رابطه اهمی برای مقاومت الکتریکی آنها دچار اشکال است. در سوسپانسیون‌های رقیق رابطه زیر برای مقاومت الکتریکی توسعه یافته است [۱۵]:

$$\frac{\rho}{\rho_{\infty}} = \frac{1 - \varphi_c}{1 + \frac{\varphi_c}{2}} \quad .17$$

که φ_c برابر است با $(a/c)^3$ که a شعاع ذرات داخل سوسپانسیون بدون در نظر گرفتن ضخامت لایه دوگانه الکتریکی و c شعاع موثر ذره (فاصله مرکز یک ذره تا ذره دیگر تقسیم بر دو) است. در سوسپانسیون‌های غلیظ نیز رابطه بسیار پیچیده‌تر است [۱۵].

مقادیر را نسبت به دو رابطه دیگر دارد. همچنین نتایج آزمایش‌ها با نتایج عملی در سه بازه زمانی ۵۰، ۲۵۰ و ۳۵۰ ثانیه بسیار به یکدیگر نزدیک است. یعنی شرایط سل رسوب در بازه زمانی ۵۰ تا ۳۵۰ ثانیه دچار تغییرات شدید نمی‌شود. شکل ۵ تغییرات این رابطه را به صورت جزئی تر نشان می‌دهد. در شکل ۵ الف پیش‌بینی بر اساس زمان‌های مختلف در ۵۰ ثانیه اول مشاهده می‌شود. اختلاف مشاهده شده بسیار انداز بوده و در بیشترین مقدار نیز به ۰/۰۵ گرم نمی‌رسد. همچنین پیش‌بینی حتی بر اساس زمان ۵۰۰ ثانیه نیز بر محور افقی (محور ۰) انطباق دارد که نشان می‌دهد رابطه به خوبی نتایج آزمایش را پیش‌بینی کرده است. در شکل ۵ ب محدوده ۰ تا ۳۵۰ ثانیه اول رسم شده است با دور شدن از زمان‌های اولیه پیش‌بینی بر اساس زمان ۹۰۰ و ۱۸۰۰ ثانیه اختلاف شدیدتری با مقادیر واقعی پیدا می‌کند، اما همچنان این اختلاف در محدوده‌های قابل قبول (کمتر از ۰/۱ گرم) است. شکل ۵ ج پیش‌بینی بر اساس اطلاعات ۵۰۰ و ۹۰۰ ثانیه اول را نیز علاوه بر پیش‌بینی‌های قبلی بر اساس ۵۰، ۲۵۰، ۳۵۰ و ۱۸۰۰ ثانیه (که در شکل ۴ ب بیان شد) نشان می‌دهد، که مشخص است نتایج در زمان‌های زیر ۵۰۰ ثانیه تقریباً بر هم منطبق هستند.

نکته دیگری که در شکل ۴ - ب وجود دارد این است که پیش‌بینی بر اساس نتایج زمان‌های طولانی‌تر، منجر به نتایج دقیق‌تر شده است و تغییرات خط P4 نسبت به محور صفر بسیار کم است. البته این اختلاف در زمان‌های کم قابل توجه است اما در زمان‌های طولانی مجموع اختلاف کمتر از زمان‌های کوتاه است. برای درک بهتر این تغییرات مقدار μ محاسبه شده در زمان‌های مختلف بر حسب زمان در شکل ۶ رسم گردید. همانطور که دیده می‌شود تغییرات μ در حدود ۳۵۰ ثانیه اول به شدت زیاد است و بعد از این زمان تغییرات بسیار جزئی می‌شود به شکلی که اختلاف در ۲۰۰ ثانیه بین زمان‌های ۵۰ تا ۲۵۰ ثانیه حدود ۱۴ برابر اختلاف در زمان‌های ۰ تا ۵۰ ثانیه است.

$$\tau' = \tau \times j = \frac{w_0}{\mu \rho C_0} \quad \text{رابطه ۱۹}$$

که ز دانسیته جریان عبوری از سل است. با انتگرال‌گیری از این رابطه خواهیم داشت (E6):

$$\ln \left(1 - \frac{w}{w_0} \right) = - \ln \left(1 + \frac{\rho_0}{\rho_\infty} \left(\exp \left(\frac{-tj}{\tau'_\infty} \right) - 1 \right) \right) \quad \text{رابطه ۲۰}$$

جزیيات این اثبات در پیوست ۱ بیان شده است. از آنجایی که در آزمایش‌ها w ، w_0 ، j و ρ_∞ مشخص هستند و تنها μ مجهول است اگر رابطه بالا به صورت زیر ساده شود:

$$1 + \frac{\rho_0}{\rho_\infty} \left(\exp \left(\frac{-tj}{\tau'_\infty} \right) - 1 \right) = \frac{1}{1 - \frac{w}{w_0}} \rightarrow 1 - \frac{w}{w_0} + \left(1 - \frac{w}{w_0} \right) \cdot \left(\frac{\rho_0}{\rho_\infty} \left(\exp \left(\frac{-tj}{\tau'_\infty} \right) - 1 \right) \right) = 1 \rightarrow \frac{\rho_0}{\rho_\infty} \left(\exp \left(\frac{-tj}{\tau'_\infty} \right) - 1 \right) = -1 \rightarrow \quad \text{رابطه ۲۱}$$

در نهایت خواهیم داشت:

$$\exp \left(\frac{-tj}{\tau'_\infty} \right) = 1 - \frac{\rho_\infty}{\rho_0} \quad \text{رابطه ۲۲}$$

اگر مقادیر مربوط به t^∞ در رابطه ۲۲ جایگذاری شود با داشتن جریان الکتریکی در هر لحظه می‌توان تحرک الکتروفورتیک در همان لحظه را بدست آورد:

$$\mu = \left(\ln \left(1 - \frac{\rho_\infty}{\rho_0} \right) \right) \left(\frac{w_0}{\rho_\infty C_0} \right) \left(\frac{-1}{tj} \right) \quad \text{رابطه ۲۳}$$

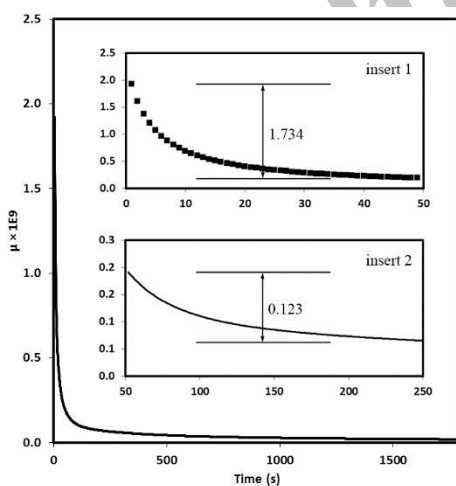
با حل عددی رابطه ۲۳ مقدار μ بدست آمده و در رابطه ۲۰ قرار داده شده است. در نمودارهای مختلف این عدد از اطلاعات مربوط به ۵۰، ۲۵۰، ۳۵۰ و ۱۸۰۰ ثانیه اول بدست آمد و در رابطه قرار داده شد و سپس مقدار w محاسبه شد و با w حاصل از آزمایش مقایسه گردید. شکل ۴ - ب اختلاف پیش‌بینی‌ها بین رابطه بازنویسی شده فراری و همکاران و مقادیر بدست آمده در فرآیند آزمایش را نشان می‌دهد. در این شکل محور عمودی کمترین

این شدت تغییرات سبب می‌شود در روابطی که تحرک الکتروفورتیک ثابت در نظر گرفته شده است اختلاف‌های اساسی بوجود آید.

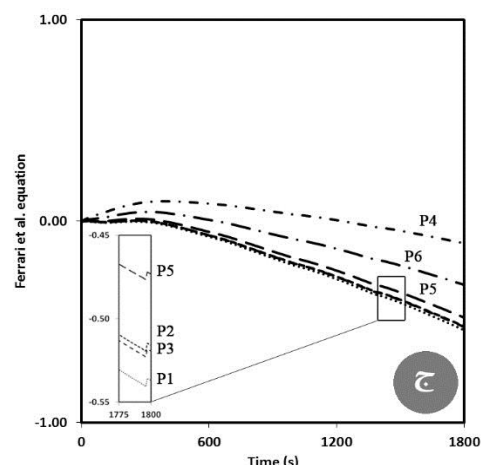
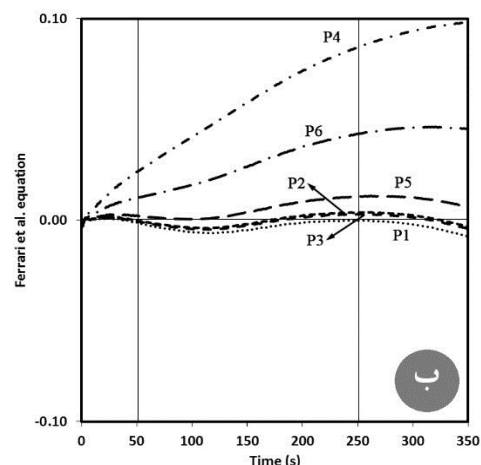
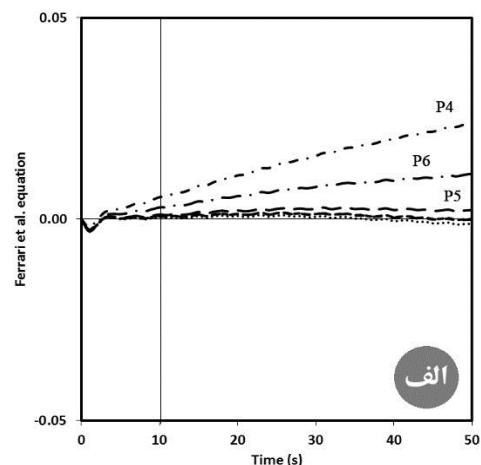
همچنین عدم تغییرات شدید در زمان‌های طولانی باعث شده است تغییرات در مقادیر پیش‌بینی نیز در زمان‌های طولانی نتایج بهتری در برداشته باشد.

در نهایت ثابت شد که با تغییراتی که در این رابطه می‌توان ایجاد کرد می‌توان آن را برای شرایط پتانسیل الکتریکی ثابت نیز بکارگیری کرد.

با دقت در شکل ۴ ب و شکل ۳ ج واضح است که ورود جریان الکتریکی مدار به روابط سبب می‌شود که پیش‌بینی‌های اولیه بر اساس ثانیه‌های ابتدایی و تعمیم به ثانیه‌های بعدی بسیار خوب انجام شود پس نکته بسیار مهم این است که تغییرات سل رسوب (هدایت الکتریکی سوسپانسیون، مقاومت الکتریکی رسوب، تغییرات غلظت و ویسکوزیته) را می‌توان با استفاده از جریان مدار الکتریکی وارد روابط کرد به ویژه روابطی که بر اساس فرض پتانسیل الکتریکی ثابت توسعه یافته‌اند.



شکل ۶. تغییرات تحرک الکتروفورتیک بر حسب زمان با استفاده از رابطه ۲۳. زمان ۵۰ ثانیه اول و ۵۰ تا ۲۵۰ ثانیه اول به صورت جداگانه رسم شده است. تغییرات در ۵۰ ثانیه اول تقریباً ۱۴ برابر تغییرات در ۲۰۰ ثانیه بعدی است.



شکل ۵. تغییرات رابطه اصلاح شده فراری و همکاران با جزیبات بیشتر بر اساس تقریب مقادیر ثابت در زمان‌های (P1) ۵۰، (P2) ۳۵۰، (P3) ۵۰۰، (P4) ۹۰۰، (P5) ۱۸۰۰ و (P6) ۱۸۰۰ ثانیه اول فرآیند و برونویابی رابطه با استفاده از این مقادیر تا ۱۸۰۰ ثانیه. جزیبات دقیق‌تر در (الف)، ۵۰ ثانیه اول، (ب) در ۳۵۰ ثانیه اول و (ج) ۱۸۰۰ ثانیه.

با توجه به فرض فراری و همکاران

$$\rho = \rho_{\infty} - (\rho_{\infty} - \rho_0) \frac{C}{C_0}$$

با جایگذاری در رابطه بالا

$$\begin{aligned} \frac{d}{dt} \left(\frac{w}{w_0} \right) &= \\ \frac{\mu j C_0}{w_0} \left(1 - \frac{w}{w_0} \right) \left(\rho_{\infty} - (\rho_{\infty} - \rho_0) \frac{C}{C_0} \right) &= \\ \frac{\mu j C_0}{w_0} \left(1 - \frac{w}{w_0} \right) \left(\rho_{\infty} - \rho_{\infty} \frac{C}{C_0} + \rho_0 \frac{C}{C_0} \right) &= \\ \frac{\mu j \rho_0 C_0}{w_0} \left(1 - \frac{w}{w_0} \right) \left(\frac{\rho_{\infty}}{\rho_0} - \frac{\rho_{\infty} C}{\rho_0 C_0} + \frac{C}{C_0} \right) &= \\ \frac{\mu j \rho_0 C_0}{w_0} \left(1 - \frac{w}{w_0} \right) \left(\frac{\rho_{\infty}}{\rho_0} \left(1 - \frac{C}{C_0} \right) + \frac{C}{C_0} \right) & \end{aligned}$$

از طرفی

$$w = \frac{w_0}{C_0} (C_0 - C) \rightarrow \frac{w}{w_0} = 1 - \frac{C}{C_0} \rightarrow 1 - \frac{w}{w_0} = \frac{C}{C_0}$$

لذا

$$\begin{aligned} \frac{d}{dt} \left(\frac{w}{w_0} \right) &= \\ \frac{\mu j \rho_0 C_0}{w_0} \left(1 - \frac{w}{w_0} \right) \left(\frac{\rho_{\infty}}{\rho_0} \frac{w}{w_0} + 1 - \frac{w}{w_0} \right) &= \\ \frac{\mu j \rho_0 C_0}{w_0} \left(1 - \frac{w}{w_0} \right) \left(\frac{w}{w_0} \left(\frac{\rho_{\infty}}{\rho_0} - 1 \right) + 1 \right) & \end{aligned}$$

اگر

$$\tau' = \frac{w_0}{\mu C_0 \rho_0}$$

آنگاه

$$\frac{d}{dt} \left(\frac{w}{w_0} \right) = \frac{j}{\tau_0} \left(1 - \frac{w}{w_0} \right) \left(\frac{w}{w_0} \left(\frac{\rho_{\infty}}{\rho_0} - 1 \right) + 1 \right)$$

با انتگرال گیری از این رابطه خواهیم داشت.

$$1 - \frac{w}{w_0} = \frac{1}{1 + \frac{\rho_0}{\rho_{\infty}} \left(\exp \left(\frac{-tj}{\tau'_0} \right) - 1 \right)}$$

و در نهایت

$$\ln \left(1 - \frac{w}{w_0} \right) = - \ln \left(1 + \frac{\rho_0}{\rho_{\infty}} \left(\exp \left(\frac{-tj}{\tau'_0} \right) - 1 \right) \right)$$

مراجع

1. F. F. Reuss, *Notice sur un nouvel effet de l'électricité galvanique*, Mém. Société Nat. Moscou., 2 (1809) 327–330.
2. E. Harsanyi, *Method of coating radiant bodies*, US Patent, (1933) Patent No. 1897902.
3. H. C. Hamaker, *Formation of a deposit by electrophoresis*, Trans. Faraday Soc., 35 (1940) 279–287.

رابطه بالدیسری و همکاران نیز در شکل ۴ ج مورد بررسی قرار گرفته است. اختلاف بسیار زیاد بین مقادیر پیش‌بینی و مقادیر واقعی نشان می‌دهد تنها در نظر گرفتن عامل جریان الکتریکی مهم نبوده و هنوز در نظر گرفته شده نیز عامل مهم دیگری است که باید به درستی در نظر گرفته شود، لذا هرچند این رابطه رویکرد جدیدی به فرآیند رسوب الکتروفورتیک داشته، اما نمی‌تواند مبنای محاسبه مناسبی برای وزن رسوب نهایی باشد.

نتیجه‌گیری

یک مدل مقاومتی با وارد کردن جریان الکتریکی مدار بیان شد تا سیستمک رسوب را در تست‌های طولانی مدت توضیح دهد. این مدل، تغییرات وزن به ازای واحد سطح را با زمان رسوب پیش‌بینی می‌کند بنحوی که با استفاده از اطلاعات ثانیه‌های اول آزمایش می‌توان حداقل تا زمان‌های ۵۰۰ ثانیه را دقیقاً پیش‌بینی کرده و همچنین با استفاده از این اطلاعات وزن نهایی رسوب را با دقت بسیار بالایی بدست آورده. این مدل نشان داد که با ثبت جریان لحظه‌ای مدار شرایط الکتریکی سوسپانسیون و رسوب به خوبی در مدل وارد می‌شود. این مدل شامل مدل‌های هاماکر، سارکار و نیکلسون و فراری و همکاران در زمان‌های کوتاه است.

پوست

$$w = \mu j \rho C t$$

و

$$\begin{aligned} w &= \frac{w_0}{C_0} (C_0 - C) \rightarrow \frac{w C_0}{w_0} = C_0 - C \rightarrow \\ C &= C_0 \left(1 - \frac{w}{w_0} \right) \end{aligned}$$

با ترکیب این دو رابطه

$$w = \mu j \rho \left(C_0 \left(1 - \frac{w}{w_0} \right) \right) t$$

با تقسیم دو طرف رابطه به w_0 و مشتق گیری

خواهیم داشت

$$\frac{d}{dt} \left(\frac{w}{w_0} \right) = \frac{\mu j \rho C_0}{w_0} \left(1 - \frac{w}{w_0} \right)$$

parameters on pore size distribution of doped nano alumina plates, *Ceram. - Silik.*, 60(2016)299–307.

4. J. Andrews, A. Collins, D. Cornish, J. Dracass, *The forming of ceramic bodies by electrophoretic deposition*, *Proc. Br. Ceram. Soc.*, 2(1969)211–229.
5. P. Amrollahi, J. Krasinski, R. Vaidyanathan, L. Tayebi, D. Vashaee, *Electrophoretic Deposition (EPD): Fundamentals and Applications from Nano- to Microscale Structures*, *Handbook of Nanoelectrochemistry*, 1(2016)561–591.
6. Z. Zhang, Y. Huang, Z. Jiang, *Electrophoretic Deposition Forming of SiC-TZP Composites in a Nonaqueous Sol Media*, *J. Am. Ceram. Soc.*, 77(1994)1946–1949.
7. P. Sarkar, P. S. Nicholson, *Electrophoretic Deposition (EPD): Mechanisms, Kinetics, and Application to Ceramics*, *J. Am. Ceram. Soc.*, 79(1996)1987–2002.
8. G. Anné, K. Vanmeensel, J. Vleugels, O. Van der Biest, *A Mathematical Description of the Kinetics of the Electrophoretic Deposition Process for Al₂O₃-Based Suspensions*, *J. Am. Ceram. Soc.*, 88(2005)2036–2039.
9. J. P. D. Plessis, J. H. Masliyah, *Mathematical modelling of flow through consolidated isotropic porous media*, *Transp. Porous Media*, 3(1988)145–161.
10. R. E. Kornbrekke, I. D. Morrison, T. Oja, *Electrophoretic mobility measurements in low conductivity media*, *Langmuir*, 8(1992)1211–1217.
11. J. Ma, W. Cheng, *Electrophoretic Deposition of Lead Zirconate Titanate Ceramics*, *J. Am. Ceram. Soc.*, 85(2004)1735–1737.
12. B. Ferrari, R. Moreno, J. A. Cuesta, *A Resistivity Model for Electrophoretic Deposition*, *Key Engineering Materials*, 314(2006)175–180.
13. C. Baldisserri, D. Gardini, C. Galassi, *An analysis of current transients during electrophoretic deposition (EPD) from colloidal TiO₂ suspensions*, *J. Colloid Interface Sci.*, 347(2010)102–111.
14. G. Anné, K. Vanmeensel, J. Vleugels, O. Van der Biest, *Influence of the suspension composition on the electric field and deposition rate during electrophoretic deposition*, *Colloids Surf. Physicochem. Eng. Asp.*, 245(2004)35–39.
15. H. Ohshima, *Electrical Conductivity of a Concentrated Suspension of Soft Particles*, *J. Colloid Interface Sci.*, 229(2000)307–309.
16. M. Milani, S. M. Zahraee, S. M. Mirkazemi, *Influence of electrophoretic deposition*

Archive